

北大工 正員 森 明 巨
〃 〃 岸 力

1. まえがき 著者ら¹⁾は、河床波の波数スペクトル $S_g(k)$ ($k = \lambda/\lambda_0$, λ : 波長) が shape factor $X = \frac{M_0 - M_2}{M_1}$ ($M_1 = \int_0^{\infty} k^2 S_g(k) dk$) を用いて (1) 式で比較的良く近似できることを示した。しかし、X の物理的な意味は明確ではなかったのでこれについて若干の考察を行なった。

$$\frac{S_g(k)}{\sigma_g^2 L_x} = S_{g*}(k*) = \frac{4}{\pi} \cdot \frac{\cos \theta/2}{1 + z \cos \theta \cdot k_*^2 + k_*^4}, \quad X = \frac{\pi \sin \theta/2}{\theta} \quad (1)$$

$\therefore z = k_* L_x$, $\sigma_g^2 = M_0$, $L_x = \sigma_g / \sqrt{M_2}$. (1) 式において $\theta = \sqrt{\theta'}$ とおき $X > \pi/2$ に対して $\theta' < 0$ である。 θ' は X の増加とともに減少する。 $\theta = \pi$ のとき $X = 1$ で、(1) 式は $k_* = 1$ ペラインスペクトルとなる。

2. X と波長の分布の関係 S_{g*} の平均波数 \bar{k}_* も (2) 式で定義すると \bar{k}_* のまわりの Δk_* の分散 $\sigma_{\bar{k}_*}^2$ は (3) 式で与えられる。

$$\bar{k}_* = \int_0^{\infty} k_* S_{g*} dk_* = \frac{1}{X} \quad (2) \quad \sigma_{\bar{k}_*}^2 = \int_0^{\infty} (\bar{k}_* - k_*)^2 S_{g*} dk_* = \frac{1}{X^3} \quad (3)$$

(3) 式から X と波長分布の変動係数 C の間に相関のあることが予想される。図-1 はこの関係を示したものである。散らばりは大きが X とともに C が増加するのに認められる。河床波の波速は波長の増大とともに減少するであろうから、C が大きくなると短波長の河床波は長波長の河床波上に superpose するものと思われる。(前者の波群を W_s、後者の波群を W_L と呼ぶことにする。) W_L の波高が W_s の波高に比べ充分大きい場合、W_s は W_L の crest を通過後消滅する。こうしてから充分発達した河床波の平均波長元に對して $\lambda \ll \lambda_0$ である河床波の initial growth rate $f(t)$ が大きの場合 W_L 上に W_s が superpose し X が大きくなるものと思われる。この growth rate は有限振巾の河床波上のものであるが、理論的にはまだ取り扱われていない。そこで、実験により X の大きさを測定刻に沿って、河床波の発達過程における砂面変動を測定し、スペクトルの時間的变化を調べた。

3. 非定常スペクトル 砂を平坦に敷きならした実験水路(長さ 20m, 中 1m)に通水した直後から砂面変動 $\eta(t)$ を測定した。実験は同じ条件で 8 回行ない、砂面測定は砂面計にエリ水路上下流の 2 箇所で行なった。④の相關係数及びスペクトルを Bendat & Priesol²⁾ の方法により (4) 式で求めた。(4) 式より求まる $S_g(t, \omega)$ の物理的解

$$R(t, \omega) = \overline{\eta(t - \frac{\omega}{2}) \cdot \eta(t + \frac{\omega}{2})}, \quad S_g(t, \omega) = 2 \int_0^{\infty} R(t, \omega) \cos 2\pi f t dt \quad (4)$$

数には多少不明確な点もあるが、その傾向は明らかに出来るであろう。計算結果は図-2 に示される様に f が小より大きい ($\omega = 60 \text{ rad/sec}$, 平均波速 = 1 m/sec であるので $f = 0.01 \text{ hertz}$ とすれば $\lambda \approx 20 \text{ cm}$ である) スペクトルは 20 分前後で peak を持ち、その後減少していく。これは、WL 成分が発達したときに W_s の消滅が始まったためと見えられる。しかし、充分時間が経過した後には peak 値より値は小なりが同程度のパワ

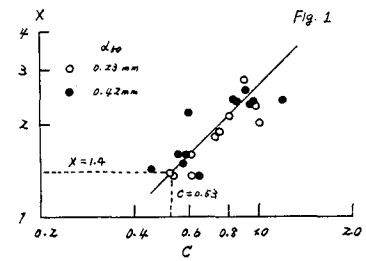


Fig. 1

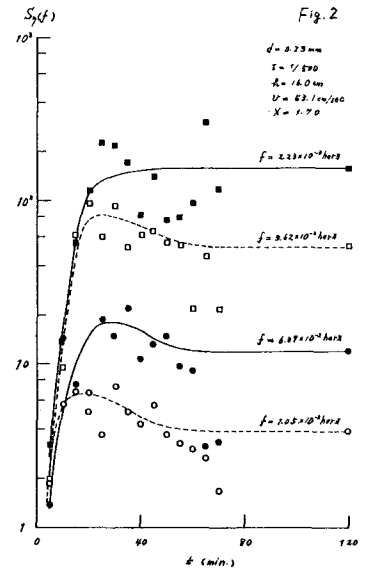


Fig. 2

を持つでいるのがわかる。このことから W_L 上の W_s の L_s/d 平坦河床上の L_s とそれほど違がわざりものと思われる。

4. Jain-Kennedyの実験⁽³⁾ ($d=0.25\text{mm}$) Jain & Kennedy は、河床の発達過程における $(L_s)^{\text{const}}$ を適當な時間间隔で測定し、河床波の発達の特性を明らかにした。図-3に彼らの測定による L_s の時間変化を示した。図からわざる通り L_s/d は時間とともに増加するが $L_s/d = 400 \sim 500$ を境にその増加の傾向が異なる。 $L_s/d \approx 400$ であるからこの境界を L_s の限界である。Jain & Kennedy によれば発生初期の河床波は河床面近傍の乱れに支配され、 L_s が大きくなると水深全体の流れに支配される。著者らの実験結果を考慮すると、前者は河床波が充分発達しても存在すると予想されるので W_s と著者、後者を W_L と著者とも良いであろう。図-4に示す様に L_s/d の増加とともに減少する。従がって C が増加するものと考えられるが $L_s/d \approx 500$ 附近よりの減少の割合が小さく付けてある。これは前節において W_L の発達による W_s の消滅が始まったことに対応するものと思われる。

5. X とのモデル 以上の実験結果から W_s の特性がある程度明らかになつたが、これらの実験の範囲では W_s は ripple に対応し W_L は dune と対応するものと思われる。図-5は X と W_s の関係をみたものであるが、ripple が発生しないと考えられる $W_s > 20$ では X は小さく ≈ 1.4 である。dune の波長を λ_d 、ripple の波長を λ_r とおき、 W_s を ripple, W_L を dune とすると X は両者の波長比 $\lambda_d/\lambda_r = E$ に強く依存するであろう。著者らは E が (5) 式で近似できることを示した。一方、 X は d に比例するものとすると (6) 式で与えられる。(W_0 : 粒子の沈降速度)

$$\frac{\lambda_d}{X} = 14 F^2 \left(\frac{W_0}{F g d} \right)^{-2} \quad (5) \quad E \propto \left(\frac{W_s}{W_0} \right)^2 = \left(\frac{U_s}{W_0} \right)^2 \varphi_0^2 \quad (6)$$

図-6は X と W_s の関係を示したものである。図によれば、 $W_s > 10$ では $X \approx 1.4$ とともに増加し、 $W_s < 10$ では $X \approx 1.4$ である。以上の結果から dune と ripple が共存し、その波長比が大きい場合 X が大きくなることがわかった。

6. 今後の問題

a) 日野は波形に注目し、又、Jain らは W_s と W_L のエネルギーの授受の平衡を著者それをスペクトルの “3乗則” を導びいた。このとき X は大きな値を取るが、本報告では X と C を結びつけている点で Jain らの考え方方に近いと思われる。しかし、 $W_s > 20$ の flow で $S_g(k) \propto k^{-3}$ となる報告が多い。しかしながら、今後、波形の面からの接近が必要であろう。b) これまでの実験水路の結果では X は 1.4 (こゝで X は図-1 中に示した直線では $C \approx 0.53$ で Rayleigh 分布の C に対応する) 附近で最小値を持つようであるが Missouri III では X が 1.1 程度となる測定例⁽⁶⁾ がある。こゝで X の水温は $4 \sim 5^\circ\text{C}$ と思われるが、水温が高リ X は X は大きな値を持つでいる。このことから水温の变化が波形に与える効果を明らかにする必要がある。

参考文献 (1). 森 岸, 北大工河川研究報告, 76-01, '76年. (2). Bendat & Piersol, Random data Analysis, Wiley Interscience, '71年. (3). Jain & Kennedy, J. F. M. vol. 63, No. 2 '76年. (4). 森 岸, 藤田, 第31回年譲 II-180 '76年. (5). Hino, J. F. M. vol. 34, NO. 3, '68年. (6). Annambhotla, PhD The University of Iowa, '69年

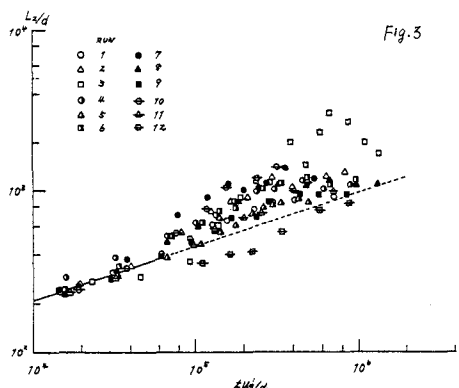


Fig. 3

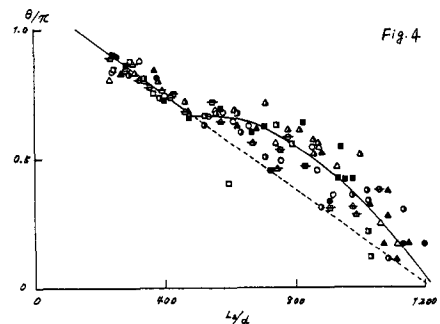


Fig. 4

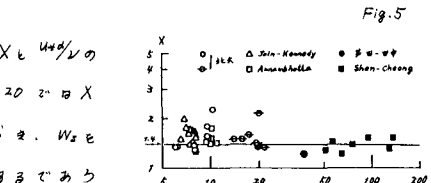


Fig. 5

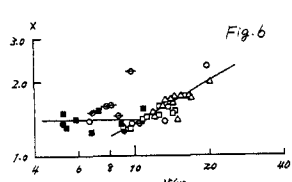


Fig. 6